

**FAG****222S.400**

## Радиальный сферический роликоподшипник

Радиальные сферические роликоподшипники 222S, разъемные, с диаметром отверстия в дюймах

## Техническая информация



## Ваш текущий вариант продукта

Design	E1A	Without central rip
Исполнение отверстия	Z	Цилиндрическое
Cage	TVPA	Пластмассовый сепаратор
Радиальный зазор	CN (Group N)	Normal internal clearance
Relubrication	Standard	Стандарт
Splitting	S.	Разъемный подшипник, дюймовый

## Основные размеры и рабочие характеристики

d	101,6 mm	Диаметр отверстия
D	200 mm	Наружный диаметр
C	53 mm	Ширина наружного кольца
C <sub>r</sub>	360.000 N	Динамическая грузоподъемность, радиальная
C <sub>0r</sub>	460.000 N	Статическая грузоподъемность, радиальная
C <sub>ur</sub>	40.500 N	Предел усталостной нагрузки, радиальный
n <sub>G</sub>	1.590 1/min	Предельная частота вращения
F <sub>a max</sub>	13.800 N	Макс. осевая нагрузка
≈m	9,8 kg	Вес

## Присоединительные размеры

M <sub>i</sub>	35 Nm	Момент затяжки зажимного винта
M <sub>a</sub>	14 Nm	Момент затяжки зажимного винта



### Габаритные размеры

$r_{min}$	2,1 mm	Мин. размер монтажной фаски
B	92 mm	Ширина внутреннего кольца

### Диапазон температур

$T_{min}$	-30 °C	Мин. рабочая температура
$T_{max}$	120 °C	Макс. рабочая температура


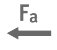







### Коэффициенты для расчета

e	0,24	Предельное значение $F_a/F_r$ для применимости различн. значений коэффициентов X и Y
$Y_1$	2,84	Динамический коэффициент осевой нагрузки
$Y_2$	4,23	Динамический коэффициент осевой нагрузки
$Y_0$	2,78	Статический коэффициент осевой нагрузки

### Дополнительная информация

22222K	Условное обозначение подшипника
H322X400	Закрепительная втулка
SNV200	Корпус

### Характеристики

	Радиальная нагрузка
	Осевая нагрузка в одном направлении
	Осевая нагрузка в обоих направлениях
	Смазывание пластичной смазкой
	Смазывание маслом
	Без уплотнений
	Разборный
	Статические угловые и линейные несоосности
	Динамические угловые и линейные несоосности